

## ДИССОЦИАЦИЯ РЕЛЯТИВИСТСКИХ ЯДЕР $^{10}\text{B}$ В ЯДЕРНОЙ ЭМУЛЬСИИ

А. А. Зайцев<sup>1, 2,\*</sup>, Д. А. Артеменков<sup>1</sup>, В. Браднова<sup>1</sup>,  
П. И. Зарубин<sup>1, 2</sup>, И. Г. Зарубина<sup>1, 2</sup>, Р. Р. Каттабеков<sup>1</sup>,  
Н. К. Корнегруца<sup>1</sup>, К. З. Маматкулов<sup>1</sup>, Е. К. Мицова<sup>1, 3</sup>,  
А. Негау<sup>4</sup>, П. А. Рукояткин<sup>1</sup>, В. В. Русакова<sup>1</sup>, В. Р. Саркисян<sup>5</sup>,  
Р. Станоева<sup>3</sup>, М. Хайдук<sup>4</sup>, Е. Фиру<sup>4</sup>

<sup>1</sup> Объединенный институт ядерных исследований, Дубна

<sup>2</sup> Физический институт им. П. Н. Лебедева Российской академии наук, Москва

<sup>3</sup> Юго-западный университет «Неофит Рильский», Благоевград, Болгария

<sup>4</sup> Институт космических исследований, Магурель-Бухарест, Румыния

<sup>5</sup> Ереванский физический институт, Ереван

В диссоциации ядер  $^{10}\text{B}$  при энергии 1A ГэВ в ядерной эмульсии исследуются структурные особенности этого изотопа. В распределении по зарядовым состояниям фрагментов доля канала  $^{10}\text{B} \rightarrow 2\text{He} + \text{H}$  составляет 78 %. На основе измерений углов испускания фрагментов в нем установлено, что нестабильные ядра  $^{8}\text{Be}_{\text{gs}}$  проявляются с вероятностью  $(26 \pm 4)\%$ , причем  $(14 \pm 3)\%$  из них возникают в распадах нестабильного ядра  $^{9}\text{B}_{\text{gs}}$ . Канал  $\text{Be} + \text{H}$  оказался подавленным и составил около 1 %.

In dissociation of  $^{10}\text{B}$  nuclei at energy of 1A GeV in nuclear track emulsion, structural features of this isotope are studied. In a charge state distribution of fragments the share of the channel  $^{10}\text{B} \rightarrow 2\text{He} + \text{H}$  is 78%. On the basis of measurements of fragment emission angles, it is determined that unstable  $^{8}\text{Be}_{\text{gs}}$  nuclei manifest with a probability of  $(26 \pm 4)\%$ , where  $(14 \pm 3)\%$  of them occur in decays of the unstable  $^{9}\text{B}_{\text{gs}}$  nucleus. Channel  $\text{Be} + \text{H}$  appeared subdued, accounting for about 1%.

PACS: 21.45+v; 23.60+e; 25.10+s

В качестве фундаментальных элементов своей структуры атомные ядра содержат виртуальные ассоциации нуклонов, или кластеры. Их простейшие наблюдаемые проявления — легчайшие ядра  $^{4,3}\text{He}$  и  $^{3,2}\text{H}$ , не имеющие возбужденных состояний. Суперпозиции легчайших кластеров и нуклонов образуют следующие ядра, в том числе нестабильные  $^{8}\text{Be}$  и  $^{9}\text{B}$ , которые,

---

\*E-mail: zaicev@lhe.jinr.ru

в свою очередь, играют роль составляющих кластеров. Баланс возможных суперпозиций в состояниях с подходящим спином и четностью определяет факт связаннысти и параметры основного состояния соответствующего ядра. Кластеризация основного состояния легкого ядра определяет структуру его возбуждений и начальные условия реакций с его участием. Дальнейшее присоединение нуклонов и легчайших ядер ведет к оболочечному типу структуры. Переплетение кластерных и оболочечных степеней свободы делает группу легких ядер своего рода «лабораторией» ядерной квантовой механики, полной сюрпризов. Кластеризация лежит в основе процессов, сопровождающих явления физики ядерных изобар, гиперядер, кварк-партонных степеней свободы. Представления о кластеризации ядер важны для применения в ядерной астрофизике, физике космических лучей, ядерной медицине и, возможно, в ядерной геологии.

В рамках проекта BECQUEREL [1], ориентированного на изучение кластерной структуры легких ядер, на нуклонроне ОИЯИ проведен цикл облучений ядерной эмульсии (ЯЭ) релятивистскими изотопами Be, B, C и N, включая радиоактивные [2]. Продольно облученные слои ЯЭ позволяют полно анализировать ансамбли фрагментов. Особенно ценными в этом отношении являются события когерентной диссоциации ядер, в которых отсутствуют следы медленных фрагментов и заряженных мезонов («белые» звезды, см. рис. 1). Облучение ЯЭ ядрами  $^{10}\text{B}$  с энергией 1A ГэВ было проведено в 2002 г. в первом сеансе на выведенном пучке нуклонона. Успех этого облучения стал основанием для последующих облучений во вторичных пучках, обогащенных ядрами  $^8\text{B}$  и  $^9\text{Be}$ , которые формировались на основе ускорения и фрагментации  $^{10}\text{B}$ . При диссоциации ядра  $^{10}\text{B}$  был отмечен эффект доминирования «белых» звезд  $2\text{He} + \text{H}$  (около 70 %), однако он не был исследован. Кроме того, оказался подавленным канал  $\text{Be} + \text{H}$  (не более 2 %). Это облучение оказалось в «тени» облучений релятивистскими радиоактивными ядрами с дефицитом нейтронов. Обнаружение значительного вклада

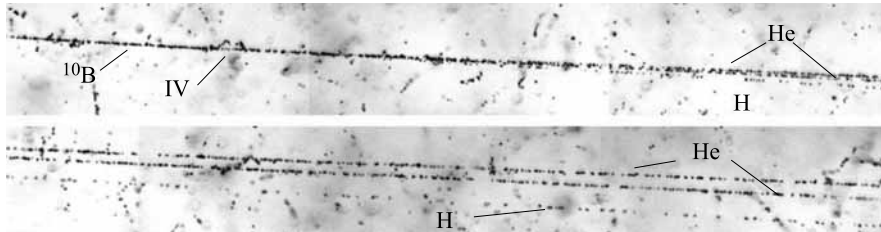


Рис. 1. Макрофотография события когерентной диссоциации ядра  $^{10}\text{B}$  на фрагменты He и H; IV — примерное положение вершины взаимодействия. Характеристики данного события:  $\Theta_{2\alpha} = 5,3$  мрад,  $Q_{2\alpha} = 87$  кэВ,  $Q_{2\alpha p} = 352$  кэВ

нестабильного ядра  $^9\text{B}$  в структуре радиоактивного ядра  $^{10}\text{C}$  [3] указывает на важность углубленного анализа диссоциации  $^{10}\text{B} \rightarrow 2\text{He} + \text{H}$ . Его целью является определение вероятностей когерентной диссоциации ядра  $^{10}\text{B}$  с участием  $^8\text{Be}$ , а также ядра  $^9\text{B}$ . Возобновление исследований по структуре ядра  $^{10}\text{B}$  стало актуальным для интерпретации данных по ядру  $^{11}\text{C}$ , в котором  $^{10}\text{B}$  может играть роль структурного элемента [4].

Роль основ в  $^{10}\text{B}$  должны играть ядра с выраженной кластерной структурой, на что указывают пороги отделения нуклонов и легчайших ядер  $^6\text{Li} + \alpha$  (4,5 МэВ),  $^8\text{Be} + d$  (6,0 МэВ),  $^9\text{Be} + p$  (6,6 МэВ) и  $^9\text{B} + n$  (8,4 МэВ). Как и в случае ядра  $^{10}\text{C}$ , при диссоциации  $^{10}\text{B}$  распады нестабильного ядра  $^9\text{B}$  могут быть источником ядер  $^8\text{Be}_{\text{gs}}$  в основном состоянии  $0^+$ . Источником ядер  $^8\text{Be}$  в первом возбужденном состоянии  $2^+$  могла бы быть кластерная конфигурация  $^8\text{Be}_{2+} + d$ . Другая компонента  $^{10}\text{B}$  основана на ядре  $^9\text{Be}$ , в структуре которого  $^8\text{Be}_{\text{gs}}$  и  $^8\text{Be}_{2+}$  присутствуют с примерно равными весами. При диссоциации  $^{10}\text{B}$  эта компонента может проявиться как в образовании ядер  $^9\text{Be}$ , так и пар  $\alpha$ -частиц  $^8\text{Be}_{\text{gs}}$  и  $^8\text{Be}_{2+}$ . В случае когерентной диссоциации по каналу  $^9\text{B} + n$  можно ожидать ту же вероятность, как и для зеркального канала  $^9\text{Be} + p$ . Аналогично ядро  $^6\text{Li}$  может присутствовать как целостное образование и как виртуальная связь  $\alpha + d$ .

Эти соображения привели к возобновлению анализа облучения  $^{10}\text{B}$  в 2015 г. К настоящему времени выполнен просмотр ЯЭ по следам пучковых ядер  $^{10}\text{B}$  на длине 241 м, в результате чего найдено 1664 неупругих взаимодействия. Распределение 127 «белых» звезд  $^{10}\text{B}$  по зарядовым конфигурациям фрагментов

Канал	Число звезд
$\text{Be} + \text{H}$	1 (1 %)
$2\text{He} + \text{H}$ , включая $^8\text{Be}$ , $^9\text{B}$	99, 24, 13 (78, 19, 10 %)
$\text{He} + 3\text{H}$	16 (12 %)
$\text{Li} + \text{He}$	5 (4 %)
$\text{Li} + 2\text{H}$	5 (4 %)
$5\text{H}$	1 (1 %)

Для получения надежного опорного сигнала о ядрах  $^8\text{Be}$  и  $^9\text{B}$  по угловым измерениям статистика событий  $^{10}\text{B} \rightarrow 2\text{He} + \text{H}$  была доведена до 296, включая 166 «белых» звезд. Такое увеличение достигнуто путем их ускоренного поиска  $2\text{He} + \text{H}$  по площади и добавлением в измерения «небелых» звезд  $2\text{He} + \text{H}$ . Выборка обусловлена  $2\text{He} + \text{H}$  в основном геометрическим расположением событий в объеме эмульсии относительно маркировки и не вносит каких-либо дополнительных критериев отбора.

Распределение пар  $2\text{He}$  данной выборки по пространственному углу  $\Theta_{2\text{He}}$  (рис. 2, *a*) в интервале  $0 < \Theta_{2\text{He}} < 10.5$  мрад указывает на наличие 56 распадов  $^8\text{Be}_{\text{gs}}$ , включая 40 из «белых» звезд. Из распределения событий по

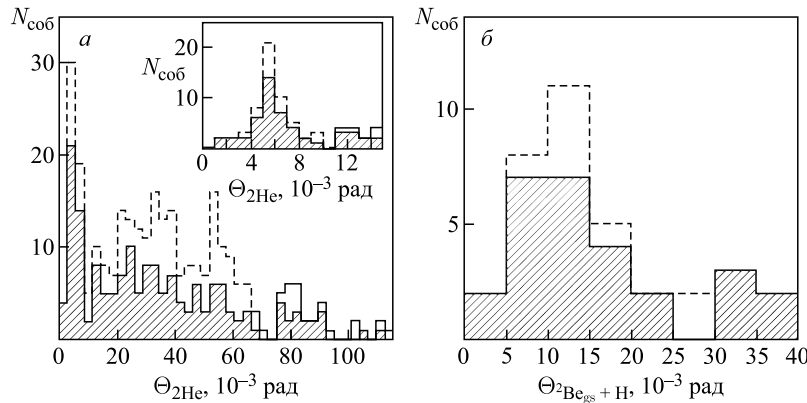


Рис. 2. Распределение событий  $^{10}\text{B} \rightarrow 2\text{He} + \text{H}$  по углу разлета  $\Theta_{2\text{He}}$  в парах  $2\text{He}$  (а) и углу разлета  $\Theta_{\text{Be}_{\text{gs}} + \text{H}}$  в парах  $^8\text{Be}_{\text{gs}}$  и  $\text{H}$  (б) для всех найденных событий (штриховые линии) и в «белых» звездах (заштрихованные области)

пространственному углу  $\Theta_{2\text{He}+\text{H}}$  между направлением  $^8\text{Be}_{\text{gs}}$  и  $\text{H}$  в интервале  $0 < \Theta_{\text{Be}_{\text{gs}} + \text{H}} < 25$  мрад можно выделить 28 распадов, относимых к  $^9\text{B}_{\text{gs}}$  (аналогично [5]) во всех измеренных событиях, включая 22 таких распада в «белых» звездах (рис. 2, б). Таким образом, только для половины событий образование ядер  $^8\text{Be}_{\text{gs}}$  происходит через распады  $^9\text{B}_{\text{gs}}$ .

Реконструкция распадов релятивистских ядер  $^8\text{Be}$  и  $^9\text{B}$  возможна по энергии возбуждения  $Q = M^* - M$ , представляющей собой разность инвариантной массы фрагментов  $M^*$ ,  $M^{*2} = \sum(P_i P_k)$  и суммарной массы фрагментов  $M$ ;  $P_{i,k}$  — 4-импульсы, определенные в приближении сохранения фрагментами начального импульса на нуклон. В области малых углов разлета оправдано предположение о соответствии изотопа  $\text{H}$  протонам, а  $\text{He}$  —  $\alpha$ -частицам. Распределение по энергии  $Q_{2\alpha}$  (рис. 3, а) в области  $0 < Q_{2\alpha} < 200$  кэВ имеет среднее значение  $(105 \pm 7)$  кэВ при RMS 46 кэВ и соответствует основному состоянию  $^8\text{Be}_{\text{gs}}$ . В свою очередь, распределение по энергии  $Q_{2\alpha p}$  троек  $2\alpha + p$  (рис. 3, б) в области  $0 < Q_{2\alpha p} < 400$  кэВ имеет среднее значение  $(261 \pm 23)$  кэВ при RMS 91 кэВ и соответствует основному состоянию  $^9\text{B}_{\text{gs}}$ . Распределение по поперечному импульсу  $P_{T(9\text{B})}$  ядер  $^9\text{B}_{\text{gs}}$  (рис. 4) описывается распределением Рэля с параметром  $\sigma_{P_{T(9\text{B})}} = (121 \pm 30)$  МэВ/с, не противоречащим статистической модели (96 МэВ/с). В настоящее время ведется идентификация изотопов  $\text{He}$  и  $\text{H}$  методом многократного рассеяния, что позволит расширить область интерпретируемых углов разлета фрагментов.

Итак, нестабильные ядра  $^8\text{Be}$  и  $^9\text{B}$  проявляют себя в когерентной диссоциации по каналу  $^{10}\text{B} \rightarrow 2\text{He} + \text{H}$  с вероятностью  $(26 \pm 4)\%$  и  $(14 \pm 3)\%$  соответственно и, следовательно, являются существенными ингредиентами

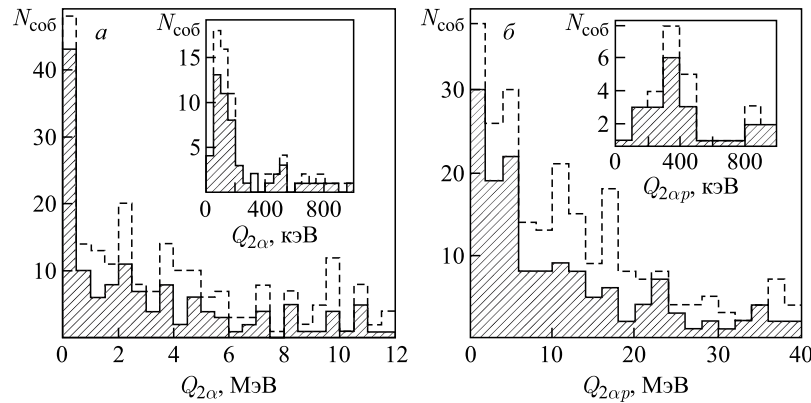


Рис. 3. Распределение событий  $^{10}\text{B} \rightarrow 2\text{He} + \text{H}$  по энергии  $Q_{2\alpha}$  пар  $\alpha$ -частиц (а) и  $Q_{2\alpha p}$  троек  $2\alpha + p$  (б) для всех найденных событий (штриховые линии) и в «белых» звездах (заштрихованные области); на вставках — увеличенные распределения  $Q_{2\alpha}$  и  $Q_{2\alpha p}$

ядра  $^{10}\text{B}$ . Неожиданным представляется тот факт, что число «белых» звезд  $^9\text{B} + n$  в 10 раз превысило  $^9\text{Be} + p$  (см. таблицу). Это наблюдение может указывать на более широкое пространственное распределение нейтронов в ядре  $^{10}\text{B}$  по сравнению с протонами, что приводит к большему сечению канала  $^9\text{B} + n$  по сравнению с зеркальным каналом.

Возможная физическая картина состоит в следующем. Ядро  $^9\text{B}$  представляет собой «разреженную» ядерно-молекулярную структуру из кластеров  $2\alpha + p$ . Кулоновский барьер может усиливать удержание протона. Возможно, что в ядре  $^{10}\text{B}$  ядро-основа  $^9\text{Be}$  также присутствует в «разреженном» виде  $2\alpha + n$  как примерно равная суперпозиция связей  $^8\text{Be}_{\text{gs}}$  и  $^8\text{Be}_{2+}$  с нейтроном, а не как целостное образование. Тогда превышение распадов  $^8\text{Be}_{\text{gs}}$  над  $^9\text{B}_{\text{gs}}$  в диссоциации может быть обусловлено дополнительным вкладом «разреженного» ядра  $^9\text{Be}$ . Для сравнения отметим, что в структуре  $^{10}\text{C}$  присутствие  $^9\text{Be}$  невозможно. Действительно, в «белых» звездах  $^{10}\text{C}$  распады  $^8\text{Be}_{\text{gs}}$  всегда ассоциируются с распадами  $^9\text{B}_{\text{gs}}$ . Возможно,

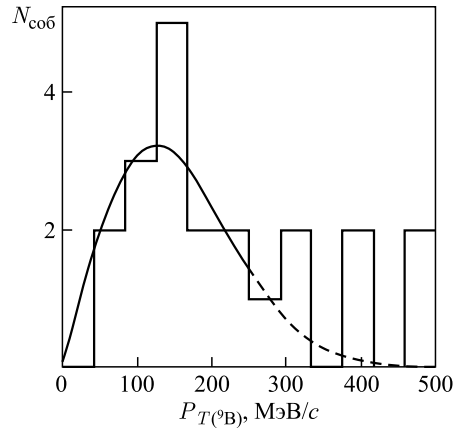


Рис. 4. Распределение «белых» звезд по по-перечному импульсу  $P_{T(9\text{B})}$  троек  $2\text{He} + \text{H}$  с образованием ядра  $^9\text{B}_{\text{gs}}$

что ядро Li, слабо проявляющееся в диссоциации  $^{10}\text{B}$  (см. таблицу), также присутствует в  $^{10}\text{B}$  в основном в «растворенном» виде и дает в распределение  $\Theta_{2\text{He}}$  нерезонансный вклад.

При изучении ядра  $^{10}\text{B}$ , позволяющем проследить эволюцию от кластерного к оболочечному типу ядерной структуры, требуется привлечение сведений о релятивистской диссоциации ядер  $^6\text{Li}$  и  $^9\text{Be}$ , а также идентификация фрагментов H в канале  $2\text{He} + \text{H}$ . В свою очередь, детальное понимание когерентной диссоциации ядра  $^{10}\text{B}$  служит основой интерпретации структуры следующего изотопа —  $^{11}\text{C}$ .

#### СПИСОК ЛИТЕРАТУРЫ

1. *The BECQUEREL Project.* <http://becquerel.jinr.ru>.
2. Zarubin P. I. “Tomography” of the Cluster Structure of Light Nuclei via Relativistic Dissociation // Lect. Notes Phys. 2014. V. 875, No. 3 “Clusters in Nuclei”. P. 51; arXiv:1309.4881.
3. Маматкулов К. З. и др. Диссоциация ядер  $^{10}\text{C}$  с энергией 1,2A ГэВ в ядерной фотографической эмульсии // ЯФ. 2013. Т. 76. С. 1286 (Mamatkulov K. Z. et al. Dissociation of  $^{10}\text{C}$  Nuclei in a Track Nuclear Emulsion at Energy of 1.2 GeV per Nucleon // Phys. At. Nucl. 2013. V. 76. P. 1224); arXiv:1309.4241.
4. Артеменков Д. А. и др. Зарядовая топология когерентной диссоциации релятивистских ядер  $^{11}\text{C}$  и  $^{12}\text{N}$  // ЯФ. 2015. Т. 78. С. 845 (Artemenkov D. A. et al. Charge Topology of Coherent Dissociation of  $^{11}\text{C}$  and  $^{12}\text{N}$  Relativistic Nuclei // Phys. At. Nucl. 2015. V. 78. P. 794); arXiv:1411.5806.
5. Toshito T. et al. Measurements of Projectile-Like  $^8\text{Be}$  and  $^9\text{B}$  Production in 200–400 MeV/nucleon  $^{12}\text{C}$  on Water // Phys. Rev. C. 2008. V. 78. P. 067602.